

УДК 537.811

М. Л. Левин
С. М. РытовО ВОЗМОЖНОСТИ ИЗМЕРЕНИЯ
СПЕКТРАЛЬНЫХ ХАРАКТЕРИСТИК
БЛИЖНЕГО ТЕПЛООВОГО
ЭЛЕКТРОМАГНИТНОГО ПОЛЯ

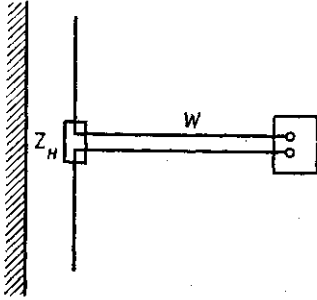
Введение. Электромагнитное тепловое поле нагретых тел содержит кроме волновой части (излучения) еще и квазистационарное (ближнее) поле [1, 2]. Последнее представляет собой сумму ближних полей случайных источников (флуктуаций токов и зарядов) в материале тела. На любой частоте ω при расстояниях от поверхности тела $a \ll \lambda = 2\pi c/\omega$ средний квадрат напряженности ближнего электрического поля возрастает с уменьшением a как $1/a^2$ и, если радиус корреляции микрополей считается равным нулю, возрастает неограниченно. Тем самым малые или тонкие полости внутри тела, равно как и тонкие зазоры между контактирующими телами, заполнены в основном ближним полем. Его наличие проявляется в пондеромоторных (вандерваальсовых) силах сцепления [3, 2]; оно же обуславливает флуктуации квазистационарных систем, в частности в электрических цепях с сосредоточенными параметрами (сил токов, напряжений и т. п.), описываемых формулой Найквиста.

Уже в [1] было указано на принципиальный интерес непосредственного обнаружения ближнего поля вне нагретого тела при помощи радиотехнических измерителей в отличие от косвенного его наблюдения в таких явлениях, как силы сцепления. Заметим также, что последние дают *интегральный* (по частотам ω) эффект, тогда как радиометоды позволяют использовать спектральную селективность. В данной работе рассматривается одно из таких радиоустройств и выясняется возможность указанного эксперимента. Ясно при этом, что для сопоставления результатов измерения с теорией последняя должна строиться с учетом обратного влияния тела на характеристики применяемого «радиозонда».

В качестве «зонда» берется прямолинейный вибратор, связанный при помощи фидера с *согласованным* приемником (рис. 1). Вибратор параллелен плоской границе тела и удален от нее на расстояние a . Нас интересует средний квадрат напряжения $|V|^2$ на входе приемника. Наиболее прямой путь для получения $|V|^2$ дают формулы, полученные в [2] на основе теоремы взаимности.

В § 1 проведен расчет $|V|^2$. В § 2 общая формула применяется к случаю достаточно малых расстояний a . Последний параграф содержит обсуждение результатов. Мы предполагаем, что скин-эффект достаточно сильно выражен на рассматриваемых частотах, так что малые a все же значительно превышают глубину проникновения d . Именно поэтому мы будем называть плоскую границу тела, создающего тепловое поле, «экраном».

§ 1. Мощность флуктуационного поля, поступающая в приемник. Если линия передачи согласована с приемником, то поступающая в него мощность флуктуационного поля совпадает, очевидно, с потоком энергии этого поля, уносимым от антенны вдоль неограниченного фидера. Спектральная плотность этого потока J_ω в соответствии с общей теорией (волноводная форма закона Кирхгофа [2]) дается формулой



$$J_\omega = \frac{1}{2\pi} (\Theta_0 A_0 + \Theta_\Pi A_\Pi + \Theta_\varepsilon A_\varepsilon),$$

где Θ_0 , Θ_Π , Θ_ε — энергетические температуры ($\Theta = kT$) среды в пространстве перед экраном, провода вибратора и экрана, а A_m ($m=0, \Pi, \varepsilon$) — соответствующие коэффициенты поглощения, описывающие работу антенны в передающем режиме, когда она возбуждается волной, приходящей по фидеру, и является по отношению к нему конечной нагрузкой с импедансом

$$Z_\Pi = Z_0 + Z_\Pi + Z_\varepsilon.$$

Здесь $Z_0 = R_0 + iX_0$ — входной импеданс идеально проводящего вибратора в присутствии идеально проводящего экрана, $Z_\Pi = R_\Pi + iX_\Pi$ — эффективный импеданс, обусловленный конечной проводимостью вибратора, а $Z_\varepsilon = R_\varepsilon + iX_\varepsilon$ — эффективный импеданс, обусловленный конечной проводимостью экрана. Заметим, что в приближении сильного скин-эффекта $Z_\Pi = (1+i)R_\Pi$ и $Z_\varepsilon = (1+i)R_\varepsilon$.

Пусть фидер не обладает потерями и его волновое сопротивление равно W . Тогда

$$A_m = \frac{4WR_m}{|W + Z_\Pi|^2}$$

и, следовательно,

$$J_\omega = \frac{2}{\pi} \frac{W}{|W + Z_\Pi|^2} \sum_m \Theta_m R_m \quad (m=0, \Pi, \varepsilon). \quad (1)$$

Если радиус провода вибратора b мал по сравнению с его длиной $2L$, то вибратор обладает резонансными свойствами и в окрестности основного резонанса $\lambda_{\text{рез}} \approx 4L$ ($\omega_{\text{рез}} \approx \pi c/2L$) полный импеданс Z_Π имеет вид (см., например, формулу (12.6) в [2])

$$Z_\Pi = R_\Pi + iX_\Pi = R_\Pi + i \frac{2L}{c^2 \chi} (\omega - \omega_{\text{рез}}),$$

где $\chi = 1/2 \ln(L/b)$ — малый параметр теории тонких антенн. Вводя лоренцеву полуширину

$$\Delta = \frac{c^2 \chi}{2L} (W + R_\Pi) = \omega_{\text{рез}} \frac{c\chi}{\pi} (W + R_\Pi), \quad (2)$$

перепишем (1) в виде

$$J_\omega = \frac{2}{\pi} \frac{W}{(W + R_\Pi)^2} \frac{\Delta^2}{\Delta^2 + (\omega - \omega_{\text{рез}})^2} \sum_m \Theta_m R_m, \quad (3)$$

так что для области главного резонанса

$$\Pi = \int J_{\omega} d\omega = \frac{2W \Delta}{(W + R_{\Pi})^2} \sum_m \Theta_m R_m = \omega_{\text{рез}} \frac{2c \chi}{\pi} \frac{W}{W + R_{\Pi}} \sum_m \Theta_m R_m. \quad (4)$$

В частности, при $W \gg R_{\Pi}$

$$\Pi \approx \omega_{\text{рез}} \frac{2c \chi}{\pi} \sum_m \Theta_m R_m. \quad (5)$$

Так как

$$J_{\omega} = \frac{|V_{\omega}|^2}{W}, \quad \Pi = \frac{|V|^2}{W}, \quad (6)$$

выражения (3) и (4) позволяют найти спектральную плотность квадрата напряжения и средний квадрат флуктуационного напряжения на входе приемника. Для их фактического определения надо знать сопротивления R_0 , R_{Π} и $R_{\text{в}}$.

§ 2. Расчет сопротивлений. Для тонкого резонансного вибратора распределение тока по длине имеет вид

$$I(s) = I_0 \cos ks, \quad |s| \leq L = \frac{\lambda}{4}. \quad (7)$$

Поэтому в приближении сильного скин-эффекта ($b \gg d_{\Pi}$)

$$R_{\Pi} = \frac{2L}{cb} \zeta'_{\Pi}, \quad (8)$$

где $\zeta'_{\Pi} = \frac{1}{2} \sqrt{\omega/2\pi\sigma_{\Pi}} = \frac{1}{2} \sqrt{f/\sigma_{\Pi}}$ — вещественная часть поверхностного импеданса провода.

Сопротивление излучения R_0 вибратора, находящегося вблизи идеально проводящей плоскости, есть $R_0 = R_{\text{соб}} - R_{\text{нав}}$, где $R_{\text{нав}}$ обусловлено изображением в экране. Для полуволнового вибратора, параллельного экрану [4],

$$R_{\text{соб}} = \frac{1}{c} C(2\pi),$$

$$R_{\text{нав}} = \frac{1}{c} [C(\pi \sqrt{1 + \alpha^2} + \pi) + C(\pi \sqrt{1 + \alpha^2} - \pi) - 2C(\pi\alpha)].$$

Здесь

$$C(x) = \int_0^x \frac{1 - \cos t}{t} dt, \quad \alpha = \frac{a}{L}.$$

При $\alpha \ll 1$ справедлива приближенная формула

$$R_0 = \frac{\pi^2 \alpha^2}{2c} \left[1 - \frac{\alpha^2}{8} \left(\frac{\pi^2}{3} + 1 \right) \right], \quad (9)$$

или, если R_0 выражено в Омах¹:

$$R_0 = 148 \alpha^2 (1 - 0,535 \alpha^2).$$

¹ При переходе к практическим единицам в формулах для сопротивлений надо заменить $1/c$ на 30.

Заметим, что даже при $\alpha=0,4$ значение R_0 , вычисленное по этой формуле, отличается от истинного всего на 0,3%.

Наконец, для нахождения эффективного сопротивления R_0 , обусловленного неидеальностью экрана, надо вычислить джоулевы потери Q_0 поля вибратора в этом экране. В приближении сильного скин-эффекта ($a \gg d_0$)

$$Q_0 \equiv \frac{1}{2} R_0 I_0^2 = \frac{c \zeta_0}{8\pi} \int |H_{\tan}|^2 dS, \quad (10)$$

где H_{\tan} — магнитное поле в плоскости экрана, созданное вибратором и его зеркальным изображением, $\zeta_0' = \frac{1}{2} \sqrt{\hat{\mu}/\sigma_0}$ — вещественная часть поверхностного импеданса экрана², а интегрирование распространяется на всю плоскость экрана.

В цилиндрической системе координат r, φ, z , вдоль оси которой расположен полуволновой вибратор с распределением тока (7), магнитное поле этого вибратора имеет единственный отличный от нуля компонент

$$H_\varphi = \frac{iI_0}{cr} (e^{-ikR_1} + e^{-ikR_2}). \quad (11)$$

Здесь R_1 и R_2 — расстояния от точки наблюдения до концов вибратора. Если начало координат выбрано в средней точке вибратора, то $R_{1,2}^2 = r^2 + (z \pm L)^2$. Из (11) следует, что

$$|H_{\tan}|^2 = \frac{8I_0^2 a^2}{c^2 r^4} [1 + \cos k(R_1 - R_2)].$$

Так как $dS = r dr dz / \sqrt{r^2 - a^2}$, то согласно (10)

$$R_0 = \frac{4\zeta_0'}{\pi c} G, \quad (12)$$

где³

$$G = 2a^2 \int_0^\infty dz \int_a^\infty [1 + \cos k(R_1 - R_2)] \frac{dr}{r^3 \sqrt{r^2 - a^2}}.$$

Переходя от переменной интегрирования z к новой переменной $v = (R_1 - R_2)/2L$:

$$dz = \frac{L^2 u}{\sqrt{L^2 u^2 + r^2}} \left(1 + \frac{r^2}{L^2 u^4}\right) dv, \quad u = \sqrt{1 - v^2},$$

и выполняя интегрирование по r , окончательно получим

$$G = \int_0^1 \left\{ 1 + \left(\frac{1}{\alpha} - \frac{\alpha}{u^2} + \frac{2\alpha}{u^4} \right) \operatorname{arctg} \frac{u}{\alpha} \right\} (1 + \cos \pi v) dv. \quad (13)$$

Вычисленные по этой формуле значения функции $G(\alpha)$ приведены в таблице. При $\alpha \ll 1$

² Поскольку далее речь идет о полях дециметрового диапазона, мы считаем материал экрана немагнитным.

³ Чисто геометрический фактор G связан с введенной в [2] функцией $F(\alpha)$ соотношением $G = \pi F$.

$$G(\alpha) \approx \frac{\pi}{2\alpha} (1 + 2,22 \alpha^2), \quad (14)$$

а при $\alpha > 1$ асимптотическая формула

$$G = 2,809 + \frac{0,508}{\alpha^2} - \frac{0,068}{\alpha^4} \quad (15)$$

дает значения $G(\alpha)$ с ошибкой меньше 0,5%.

α	G	α	G
0,10	16,03	1,10	3,19
0,20	8,44	1,20	3,14
0,30	6,05	1,30	3,09
0,40	4,93	1,40	3,05
0,50	4,31	1,50	3,02
0,60	3,92	1,60	3,00
0,70	3,67	1,70	2,98
0,80	3,49	1,80	2,96
0,90	3,36	1,90	2,94
1,00	3,26	2,00	2,93

Нарастание сопротивления R_0 при уменьшении a как раз и отражает действие ближнего поля на вибратор. Радиус корреляции этого поля порядка a (у волнового поля радиус корреляции всюду порядка λ), в результате чего обусловленная им часть Π растет лишь как $1/a$ в отличие от среднего квадрата напряженности электрического поля, возрастающего с уменьшением a как $1/a^2$.

Пользуясь (8), (9) и (14), получаем для полного эффективного сопротивления вибратора $R_{\text{н}}$ в случае $\dot{a} = a/L \ll 1$ следующее выражение:

$$R_{\text{н}}^{\text{л}} = R_0 + R_{\text{н}} + R_{\text{с}} = \frac{1}{c} \left(\frac{\pi^2 \alpha^2}{2} + \frac{2L}{b} \zeta_{\text{н}}' + \frac{2}{\alpha} \zeta_{\text{с}}' \right). \quad (16)$$

Аналогичный вид имеет и сумма $\sum_m \Theta_m R_m$, входящая в (3) и (4):

$$\sum_m \Theta_m R_m = \frac{1}{c} \left(\Theta_0 \frac{\pi^2 \alpha^2}{2} + \Theta_{\text{н}} \frac{2L}{b} \zeta_{\text{н}}' + \Theta_{\text{с}} \frac{2\zeta_{\text{с}}'}{\alpha} \right). \quad (17)$$

Напомним, что при выводе этих формул мы предполагали, что $b \ll a$, $a \gg d_0$, $a \ll L$, $\xi_{\text{с}}' \ll 1$.

§ 3. Обсуждение результатов. Сумма (17) как функция α имеет минимум при

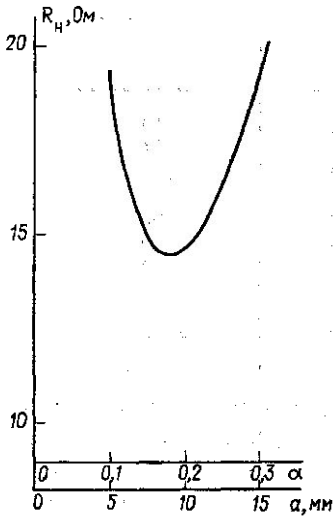
$$\alpha = \alpha_m \equiv (2\zeta_{\text{с}}' \Theta_{\text{с}} / \pi^2 \Theta_0)^{1/3}. \quad (18)$$

Отсюда ясно, что повышение температуры экрана $\Theta_{\text{с}}$ весьма слабо увеличивает расстояние $a_m = L\alpha_m$, при переходе через которое начинает преобладать эффект нарастания ближнего поля. Примем поэтому $\Theta_{\text{н}} = \Theta_{\text{с}} = \Theta_0$. Тогда

$$\alpha_m (2\zeta_{\text{с}}' / \pi^2)^{1/3}, R_{\text{нм}} = \frac{1}{c} \left[\frac{2L}{b_0} \zeta_{\text{н}}' + \frac{3}{2} (2\pi\zeta_{\text{с}}')^{2/3} \right]. \quad (19)$$

Для эксперимента желательно по возможности увеличить значение $a_m = La_m$. Поэтому надо выбирать согласно (19) материал экрана с возможно большим ξ_3^1 . В случае плохо проводящих металлов (ртуть, висмут, ниобий) $\sigma \approx 10^{16}$ абс., и на рабочей частоте, скажем, $f = 1,5 \cdot 10^9$ ($\lambda = 20$ см, $L = 5$ см), $\xi_3^1 \approx 2 \cdot 10^{-4}$. Следовательно, $a_m \approx 2$ мм, что, конечно, затрудняет эксперимент.

Рассмотрим поэтому значительно худший проводник — «соленую» воду, для которой в нашем диапазоне частот (см. [5]) $\sigma \approx 5 \cdot 10^{10}$ абс. В этом



у $\xi_3^1 \approx \dots$, $m \approx 1,3$, $d_3 \approx 0,55$, \dots .
 вие $a \gg d_3$ выполняется плохо. Конечно, можно измерять ближнее поле и над плохим проводником, не связывая себя условием $a \gg d$, но расчет сопротивлений для такого опыта существенно сложнее.

В качестве примера на рис. 2 приведен график зависимости R_n (в Омах) от $a = a/L$ для экрана с проводимостью $\sigma = 5 \cdot 10^{11}$ абс. Радиус провода вибратора (медь) взят равным 0,2 мм, частота поперемному $f = 1,5 \cdot 10^9$.

Как видно из этого графика, $a_m = 8,9$ мм, а при дальнейшем уменьшении a до $a' = 5$ мм R_n увеличивается на 4 Ома. При комнатной температуре это соответствует увеличению мощности P на входе приемника на $3 \cdot 10^{-13}$ Вт, или увеличению среднеквадратичного напряжения на входе на $\Delta V \approx 0,1$ мкВ при

волновом сопротивлении фидера $W = 50$ Ом.

ЛИТЕРАТУРА

1. Рытов С. М. Теория электрических флуктуаций и теплового излучения. М., 1953.
2. Левин М. Л., Рытов С. М. Теория равновесных тепловых флуктуаций в электродинамике. М., 1967.
3. Лифшиц Е. М. ЖЭТФ, 1955, 29, вып. 1 (7), 94.
4. Пистолькорс А. А. Антенны. М., 1947.
5. Фейнберг Е. Л. Распространение радиоволн вдоль земной поверхности. М., 1961.

Радиотехнический институт
АН СССР